

1960

INSTITUTO DE MICOLOGIA — UNIVERSIDADE DO RECIFE

PUBLICAÇÃO N.º 236

Reprint Bioteca

## ASCOMYCETES DE DIVERSAS FAMÍLIAS

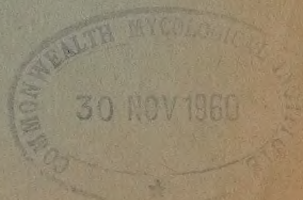
A. CHAVES BATISTA

H. DA SILVA MAIA

GENEROSA E. P. PERES



1960







# ASCOMYCETES DE DIVERSAS FAMÍLIAS

A. CHAVES BATISTA

H. DA SILVA MAIA

GENEROSA E. P. PERES

— With the Compliments  
of Chaves Batista

De modo heterogéneo, isto é, sem relações de próximo parentesco entre géneros ou famílias, reunimos, nesta publicação, diversos Ascomycetes, que tivemos oportunidade de analisar.

São eles: *Arachnopeziza platoniae* Bat. & Peres, sobre *Platonia insignis*; *Auerswaldia nectrioides* Rehm, sobre *Mangifera indica*; *Eupelte amicta* Syd, sobre *Olea laurifolia*; *Fenestella faberi* Kunze, sobre *Cytsus scoparius*; *F. ulmicola* E. & E., sobre *Paullinia pinnata*; *Gnomonia grewiae* (P. Henn.) Petrak, sobre *Grewia caffra*; *Leucoconiella* n. gen. *paraguayensis* Bat, Maia & Peres n. sp., sobre *Sapindaceae*; *Massaria occulta* Romell, sobre *Maytenus rigida*; *Massarina salicinicola* Rehm var. *minor* Bat. & Maia n. var., sobre hospedeiro inidentificado; *Melomastia clypeata* Petr. var. *multiseptata* Bat. & Bez. n. var., sobre *Salix martiana*; *Mycosphaerella brassicicola* (Duby) Munk, sobre planta não identif.; *M. digitalis-ambiguae* von Arx, sobre *Andromeda polyfolia*; *M. longissima* (Fuck.) von Arx, sobre *Plantago major*; *M. psammae* (Rostr.) Lind. var. *stromatica* Munk, sobre *Drymaria cordata*; *Ohleria aemulans* Rehm, sobre *Arabis platysperma*; *Phyllachora goyazensis* P. Henn, sobre *Psidium araca*; *P. puncta* (Cke.) Doidge, sobre *Xylosma* sp.; *Polystigma sutherlandiae* (Kalch & Cke.) von Arx & Muller, sobre *Sutherlandia frutescens*; *Pseudoplea trifolii* (E. Rostr.) Petrak, sobre *Sorghum halepense* e *Trichothyria pinophylla* (v. Höhn.) Petrak, sobre *Pinus austriaca*.

***Arachnopeziza platoniae* Bat. & Pères n. sp.**

Micélio hialino, superficial, irregularmente ramificado, formando subículo, situado na base das frutificações; hifas septadas, de  $2-2,5\ \mu$  de diâmetro.

Apotécios superficiais, escassos, espalhados, em forma de urna, sésseis, brancos, ceráceos,  $200-260 \times 135-200\ \mu$ , recobertos de pêlos brancos, filiformes, de  $20-30 \times 0,5-1\ \mu$ , inicialmente fechados, depois expondo disco côncavo; paredes de  $40-45\ \mu$  de diâmetro (Fig. 1).



Fig. 1 — *Arachnopeziza platoniae* Bat. & Pères n. sp.

Ascos cilindráceos, alongados, sésseis ou curtopedicelados, de ápice rotundo, 2-tunicados, 8-esporos,  $75-175 \times 6-12\ \mu$ .

Paráfises simples, hialinas, filiformes, abundantes, septadas, até  $1,5\ \mu$  de diâmetro, menos longos do que os ascos.

Ascosporos filiformes, rectos ou recurvados, hialoescolecosporos, X-septados, dispostos em feixes ou entrançados dentro dos ascos,  $75-175 \times 1,5-3\ \mu$ .

Sobre folhas de *Platonia insignis*, Mart., Jaboaão, Pern., Leg. A. C. Batista, 3/3/959. Tipo, 16275, I. M. U. R. — associado a Micropeltaceae imaturo.

*Mycelium hyalinum, superficiale, ex hyphis subiculoideis, irregulariter ramosis, septatis, 2-2,5  $\mu$  cr. compositum. Apothecia superficialia, non numerosa, cupulata, sessilia, primo clausa dein urceolata, albida, ceracea, 200-260  $\times$  135-200  $\mu$ , pilis 20-30  $\times$  0,5-1  $\mu$  extrinsecus vestita, cum parietibus 40-45  $\mu$  cr. Asci cylindracei, elongati, sessiles vel curto-stipitati, 2-tunicati, 8-sporei, 75-175  $\times$  6-12  $\mu$ . Paraphyses filiformes, simplices, hyalinae, 1,5  $\mu$  cr. Ascospores filiformes, rectae vel incurvatae, scolecospores, hyalinae, pluries transversaliter septatae, 75-175  $\times$  1,5-3  $\mu$ . In foliis Platoniae insignis Mart., Jaboaão, Pern. Leg. A. C. Batista. 3/3/959. Typus, 16275, I. M. U. R.*

## DOTHIDEACEAE

**Auerswaldia nectrioides** Rehm.

in Hedwigia, XXXVI: 375, 1897.

Plágulas estromáticas corticais, de 0,5-1 mm. de diâmetro. Micélio superficial ausente.

Micélio intramatricial escasso; hifas septadas, marron-claras, flexuosas, não hifopodiadas, anastomosadas, 2,5  $\mu$  de diâmetro.

Ascostromas imersos, 1 2, glabros (Fig. 2), isolados ou gregários, coriáceos, elipsoides a botuliformes, prosenquimáticos, marron-negros, 120-200  $\mu$  de diâmetro; paredes marron-negras, estromáticas, 12-14  $\mu$  de diâmetro, com ostíolo de 14-17,5  $\mu$  de diâmetro.

Ascospores cilindráceos, 2-tunicados, curto-pedicelados, 8-esporos, 35-40  $\times$  9-15  $\mu$ .

Paráfises hialinas, filiformes, simples, septadas de ápice rotundo, com 1,25  $\mu$  de diâmetro.



Ascoporos elipsoides, contínuos, marron 8—12,5 × 5—6  $\mu$ , monósticos ou disticos, lisos.

Sobre córtex de *Mangifera indica* L. Leg. Irmão Leôncio Carlos Domingues. Procedência — Itamaracá 26/2/959. Espec. n.º 15911, I. M. U. R.

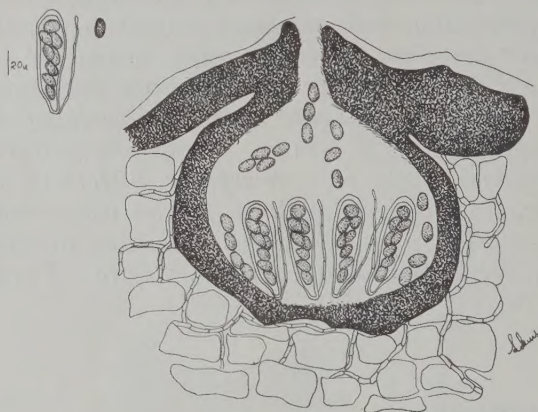


Fig. 2 -- *Auerswaldia nectrioides* Rehm.

### TRICHOTHYRIACEAE

#### *Eupelte amicta* Syd.

in Ann. Mycol. XXII: 426, 1924

Hansford, C. G. in Comm. Myc. Inst. Myc. Pap n.º 15, pág. 186, 1946.

Colônias marron-negras, superficiais, epífilas ou anfigenas, a princípio circulares, com 3-12 mm. de diâmetro; depois tornam-se efusas, irregulares, recobrendo todo o limbo foliar.

Micélio membranoso, uniestratificado, composto por hifas marron, septadas, radiantes, sinuosas, ramificadas em ângulos de 45°, com células pouco ou não constrictas, de 8-15,5 × 4,5-6  $\mu$ , sem hifopódios ou setas.

Números conídios desenvolvem-se sobre as hifas do micélio, 24-29 × 5-6  $\mu$ , sendo marron-escuros, sésseis, cilin-

dráceos, erectos, 3-septados, raramente 4-septados, de célula apical dilatada, exibindo estreita faixa hialina, pouco visível,  $23-33,5 \times 5,5-8 \mu$ ; às vezes, ocorrem catenuladamente (Fig. 3).

O micélio interno é sub-epidérmico, hialino, em contacto com o micélio externo, à maneira de haustórios.

Ascostromas orbiculares, convexos, superficiais  $120-182 \mu$  de diâmetro, gregários, confluentes, epífilos, de centro opaco, negro, membranosos, sub-parenquimáticos, de células parie-

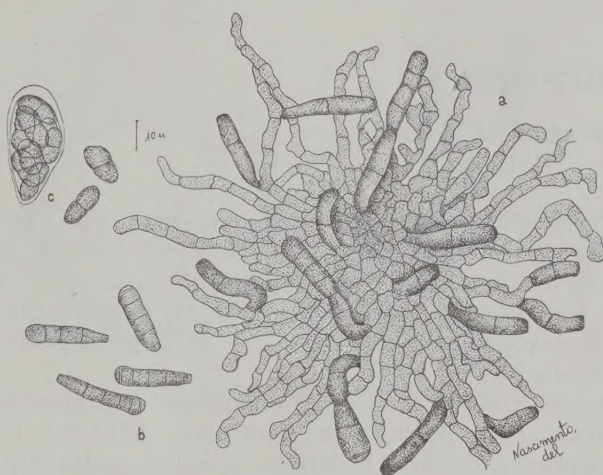


Fig. 3 — *Eupelte amicta* Syd.

- a) Ascostroma e hifas micelianas, com conídios
- b) Conídios isolados
- c) Asco e ascosporos

Orig.

tais poligonais ou rectangulares, irregularmente radiadas, com  $5,5-11 \times 3,5-6,5 \mu$ , de dehiscência irregular.

Margens franjadas, continuando com o micélio, que não se diferencia. Apresentam os ascostromas, como o micélio, grande quantidade de conídios.

Hipotécio espesso, amarelado,  $20-25 \mu$  de diâmetro.

Ascos clavados, 2-tunicados, sésseis, aparafisados  $44-54 \times 20-26 \mu$ .

Ascosporos oblongos ou rotundo-cilindráceos, lisos, 1 septo mediano, constrictos, marron, polísticos. Sobre folhas de *Olea laurifolia*, Pirie Forest — Cape, Leg. E. M. Doidge, 8/7/1919.

Este espécimen, que ora estudamos, graças à gentileza do Dr. Talbot, do Mycol. Herb. Dep. Agr. Union of South África, sob o n.º 12325, foi identificado por Doidge & Hansford, como *Eupelte amicta*, o que confirmamos, prazeirosamente.

### DIAPORTHACEAE

**Fenestella faberi** Kunze

in Syll. Fung. II: 330, 1883.

Pseudotécios imerso-irrupentes, gregários, valsoides, membranoso-carbonáceos, globosos a piriformes, marron-negros, tendo colo de 60-80  $\mu$  de altitude, 250-330  $\mu$  de diâmetro e ostíolo de 35-45  $\mu$  de diâmetro, paredes estromáticas, 25-50  $\mu$  de diâm., formadas por células poligonais, sub-parenquimáticas (Fig. 4).

Ascos erectos, cilindráceo-clavados, 2-tunicados, sem opérculos, curto-pedicelados, 8-esporos, 120-158  $\times$  19-24  $\mu$ , com paráfises hialinas, filiformes, simples, contínuas, 4-5,5  $\mu$  de diâmetro.

Ascosporos elípticos, marron, 27-32  $\times$  11-14  $\mu$ , tendo 7-8 septos transversais e 1-septo longitudinal, constrictos, monósticos a disticos, lisos.

Sobre ramos de *Cytsus scoparius* — Espec. ex Flora Moravica, Mähr — Weisskirchen, F. Petrak, 1924, sob *Seynesia pulchella* Herb. Inst. Bot. Acad. Cienc. Leningrado, U. S. S. R.

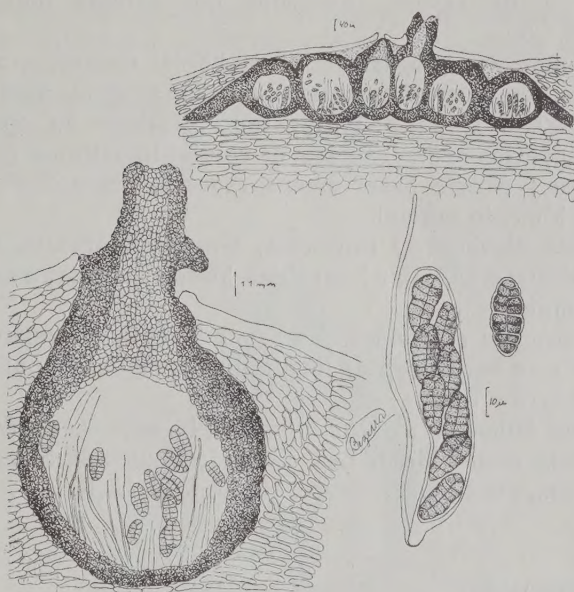
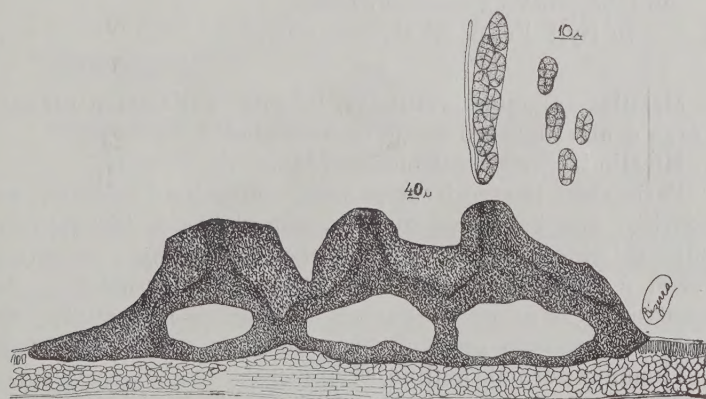
**Fenestella ulmicola** E. et E.

in Sacc. Syll. XI: 349, 1895.

Micélio superficial e intramatricial ausentes.

Estromas epífilos, sub-cuticulares, proeminentes, carbonáceos, linear-irregulares, rugosos, pseudo-parenquimático,



Fig. 4 — *Fenestella faberl* KunzeFig. 5 — *Fenestella ulmicola* E. & E.

115-315  $\mu$  de espess., formados por células poligonais, 11-19  $\times$  6,5-8  $\mu$ .

Pseudotécios gregários, sub-globosos, rostrados, negros, coriáceos, totalmente imersos no estroma (Fig. 5), em número de 2-6, 400-600  $\times$  254-380  $\mu$ ; ostíolo papilado ou obsoleto; parede superior negra, espessa, de células indistintas, 89-127  $\mu$  de espess.; parede basal menos espessa, negra 25-63  $\mu$  de espess.; himénio normal.

Ascos clavados, 1-tunicados, 8-esporos, sésseis, parafisados, 55-100  $\times$  13,5-15  $\mu$ ; paráfises hialinas, filiformes, contínuas, simples.

Ascosporos elipsoides, marron, 3-5 septados transversalmente e com vários septos longitudinais, disticos a polísticos, lisos, 13,5-16  $\times$  7-8  $\mu$ .

Sobre folhas de *Paullinia pinnata* L., associado a *Helminthosporium cesatii* Mont. Leg. Osvaldo Soares da Silva, Paulista, Pern., em 17/5/59. Espec. 16170, I. M. U. R.

### GNOMONIACEAE

**Gnomonia grewiae** (P. Henn.) Petrak

in Ann. Myc. Sydowia, XI: 344, 1957.

Sin.: *Stigmatea grewiae* P. Henn.

in Syll. Fung. XVII: 650, 1905.

Máculas anfigenas, rotundas, 1-2 mm de diâmetro, planas, de área central marron e bordos amarelados.

Micélio intramatricial inobservado.

Peritécios imerso-irrupentes, anfigenos, isolados ou gregários, membranosos, glabros, sub-globosos, às vezes de papila saliente (Fig. 6), marron-negros, 95-140  $\mu$  de alt. e 100-200  $\mu$  de diâmetro; pseudo-ostíolo circular, 24-27  $\mu$  de diâmetro; perídio pseudo-parenquimático, marron 16-27  $\mu$  de espessura, formado por células poligonais, 12-20  $\times$  6,5-11  $\mu$ .

Himénio normal, hialino, simples.

Ascos paralelos, clavados, 2-tunicados, sem opérculo, sésseis, octosporos, 27-40  $\times$  5,5-10  $\mu$ , aparafisados.

Ascosporos elipsoides a clavados, 1-septados, não constrictos, monósticos a polísticos, lisos, 2-gutulados,  $7,5-10 \times 3-3,5 \mu$ , hialinos

Sobre folhas de *Grewia caffra* Meissn. Expedição Kunene — Sambesi — Tipo, ex. «H. Baum, Reise nach Südwest — Afrika» 4/3 1900, Inst. Bot. Academia de Ciências, Lenigrado, U. S. S. R.

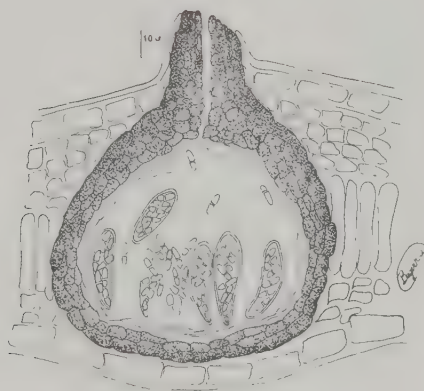


Fig. 6 — *Gnomonia grewiae* (P. Henn.) Petrak

## ERYSIPHACEAE

*Leucoconiella* Bat., Maia & Peres n. gen.

Tipo: *L. paraguayensis* nobis.

Micélio superficial, de hifas hialinas, pouca ramificadas, septadas, sem setas ou hifopódios, apresentando conídios contínuos, hialinos.

Peritécios superficiais globosos ou sub-globosos, sub-carnosos, moles, marron-negros, pseudo-ostiolados, setosos; setas simples, não ramificadas.

Ascos 1-tunicados, 8-esporos, parafisados.

Ascosporos hialofragmos.



*Typus:* *L. paraguayensis nobis.*

*Mycelium hyalinum, superficiale, ex hyphis reticulato-ramosis, septatis, non setosis, non hyphopodiatis, compositum, cum conidiis continuis atque hyalinis.*

*Perithecia superficialia, globosa vel sub-globosa, sub-carnosa, mollia, atro-brunnea, pseudo-ostiolata, setosa.*

*Asci 1-tunicati, 8-sporei, paraphysati.*

*Ascosporae hyalophragmae.*

OBS.: É afim de *Leucoconis* Theiss. e Syd., diferindo pela presença de conídios e ascos parafisados.

***Leucoconiella paraguayensis* Bat., Maia & Peres n. sp.**

Sin.: *Asteridium erysiphoides* Speg.

in Fung. Guaran II: 17, 1890.

Micélio hialino, de hifas longas, flexuosas, reticulado-ramificadas, com células de  $12-17 \times 4-5 \mu$ ; setas e hipofódios ausentes.

Conídios hialinos, elipsoides, pleurôgenamente originados das hifas do micélio,  $4-5 \times 2,5-4 \mu$ .

Peritécios superficiais, globosos a sub-globosos,  $160-180 \mu$  de diâmetro, dispersos, numerosos, marron-negros, sub-carnosos, moles, de paredes formadas por uma só camada de células poligonais, de  $8-10 \times 6-7,5 \mu$ , átomos ou com pseudo-ostíolo circular, de  $17-40 \mu$  de diâmetro (Fig. 7), circundado por numerosas setas marron-claras, septadas, simples, flexuosas, de  $347-360 \times 6-10 \mu$ , obtusas.

Ascos elipsoides a sub globosos, 8-esporos, 1-tunicados,  $62-75 \times 12-28 \mu$ .

Paráfises filiformes, septadas, hialinas, simples,  $1,5-2,5 \mu$ .

Ascosporos cilindráceos-fusoides, 3-6-septados, levemente constrictos, de polos ponteagudos,  $40-42,5 \times 5-7,5 \mu$ , hialinos.

Sobre folhas de Sapindacea-Guarapi, Paraguai, B. Balansa, Set. 1883, Tipo n.º 4075, ex P. A. Saccardo Herb., Univ. Pádova, Itália, sob *Asteridium erysiphoides* Speg.

*Mycelium hyalinum, superficiale, ex hyphis longis, flexuosis, reticulato-ramosis, septatis et ex cellulis, 12-17  $\times$  4-5  $\mu$ , non setosis, non hyphopodiatis compositum.*

*Conidiae pleurogenae, continuae, hyalinae, oblongae, 4-5  $\times$  2,5-4  $\mu$ .*

*Perithecia superficialia, globosa vel subglobosa, 160-180  $\mu$  diam., sparsa, numerosa, atrobrunnea, subcarnosa, mollia,*

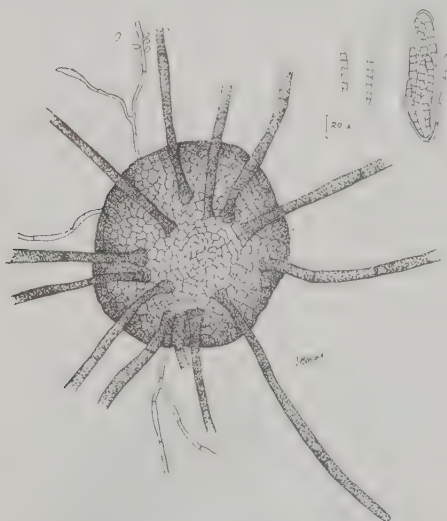


Fig. 7 — *Leucoconiella paraguayensis* Bat. & Maia & Peres n. sp.

*pseudo-ostiolata, 17-40  $\mu$  diâmetro, cum parietibus unistratosis, ex cellulis polygonalibus, 8-10  $\times$  6-7,5  $\mu$  efformatis.*

*Setae peritheciales numerosas, brunnescentes, septatae, simplices, flexuosae, obtusae, 347-360  $\times$  6-10  $\mu$ .*

*Asci ellipsoidei vel subglobosi, 1-tunicati, 8-spori, 62-75  $\times$  12-28  $\mu$ .*

*Paraphyses filiformes, simplices, septatae, hyalinae, 1,5-2,5  $\mu$  cr.*

*Ascosporae cylindraceo-fusoideae, 3-6 septatae, parum constrictae, hyalinae, 40-42,5  $\times$  5-7,5  $\mu$ .*

*In foliis Sapindaceae. Guarapi, Paraguay. B. Balansae, Sept. 1883. Typus, n.º 4075, ex P. A. Saccardo Herb., Univ. Padovae, Italiae, sub Asteridii erysiphoides Speg.*

### DIAPORTHACEAE

#### **Massaria occulta** Romell

*in Hedwigia*, p. 262, 1885

Syll. Fung. IX : 759, 1891.

Micélio superficial ausente.

Micélio interno, de início hialino, septado, depois corado, com hifas de 2,5-4  $\mu$  de diâmetro, formando estromas.

Estromas pseudo parenquimatosos, imersos no córtex, marron-negros, glabros, com 1-3 pseudotécios, 500-642  $\times$  428-1000  $\mu$  de diâmetro.

Pseudotécios dispersos ou 1-3-agregados (Fig. 8), piriformes ou lageniformes, 428-570  $\times$  313-328  $\mu$  de diâmetro, total-

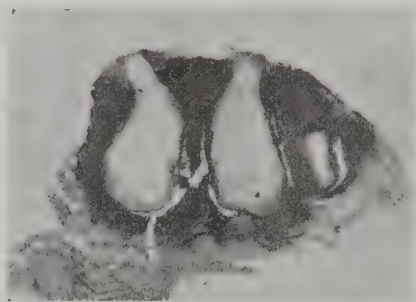


Fig. 8 — **Massaria occulta** Romell

mente imersos no estroma; perídio negro, carbonáceo, destacando-se do estroma, com 10-15  $\mu$  de diâmetro; hifas de 1,5-2  $\mu$ .

Região periostiolar amarelo-clara, de 97-105  $\mu$  de diâmetro, de forma sub-flabeliforme.

Perifises abundantes, hialinas, de 2-4  $\mu$  de diâmetro.

Ostíolo central, circular, 57-85  $\mu$  de diâmetro.



Ascos cilindráceos, 2-tunicados, 4-8-esporos, curto-pedunculados,  $97-175 \times 19-23 \mu$  (Fig. 9).

Paráfises hialinas, filiformes, ramificadas, anastomosadas,  $1-1,5 \mu$  de diâmetro.

Ascosporos elípticos ou oblongos, 2-seriados, marron-claros, inicialmente 1-septados, depois 3-septados, não constrictos, lisos,  $20-30 \times 11-12 \mu$ .

Associado a *Parmulina callista* Syd.

Sobre caule de *Maytenus rigida* Mart., Leg. José Batista de Oliveira, 20-II-1959, Serrinha, Bahia. Espec. 16248, I. M. U. R.



Fig. 9 — *Massaria occulta* Romell

*Massaria salicinicola* Rehm var. *Minor* Bat & Maia n. var.  
*in* Dansk. Botanisk Arkiv. Bind 17 (1): 446, 1957.

Clipeo-estroma marron-negro, coalescente com a porção superior do peridio,  $456-528 \mu$  de diâmetro e formado por hifas marron, de  $4-5 \mu$  diâmetro.

Pseudotécios estromáticos (Fig. 10), gregários, em pequenos grupos, marron-negros, carbonáceos, glabros, imersos no córtex, sub-globosos, com papila pronunciada,  $395-450 \mu$  de diâmetro; peridio marron, de  $20-50 \mu$  de largura, formado por células de  $5-8 \times 2,5-4 \mu$ , pouco nítidas; papila central com ostiolo de  $32-60 \mu$  de diâmetro.

Ascos cilindro-clavados, 2-tunicados, 8-esporos, sub-sésseis ou pedicelados, com aparelho apical distinto,  $92-100 \times 10-15 \mu$ ; pedicelo delgado, hialino,  $26-30 \mu$  de long. (Fig. 11).

Paráfises filiformes, hialinas, septadas, ramificadas, anastomosadas,  $0,5-1 \mu$  de diâmetro.

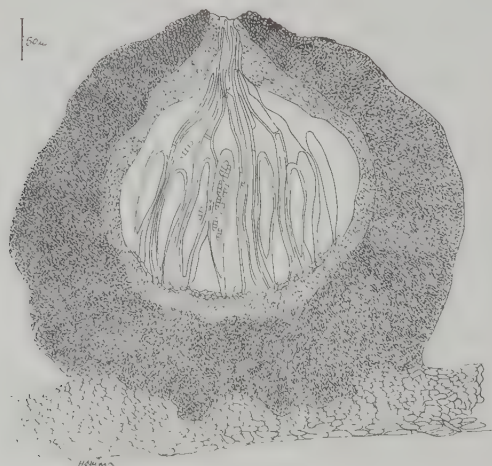


Fig. 10 — *Massaria salicinicola* Rehm var. *minor* Bat. & Maia n. var.

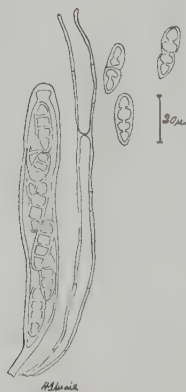


Fig. 11 — *Massaria salicinicola* Rehm var. *minor* Bat. & Maia n. var.

Ascosporos sub-fusoides, inicialmente, e, depois, 3-septados, 1-seriados, profundamente constrictos, hialinos, envoltos em camada mucosa, lisos,  $15-20 \times 5-6$ .

Sôbre caule de hospedeiro não identificado. — Leg. José Batista de Oliveira, 20/3, 1959 — Serrinha, Bahia. Tipo 16234, I. M. U. R..

*Ascosporis minoribus a typo differt.*

## DOTHIDEACEAE

**Melomastia clypeata** Petr. var. **multiseptata** Bat. & Bez. n. var. in Ann. Myc. XXI: 279, 1923.

Micélio superficial e intramatrix ausentes.

Peritécios imerso-irrupentes (Fig. 12), dispersos ou 2-3-agregados, carbonáceos, globosos a sub-globosos, marron, cli-

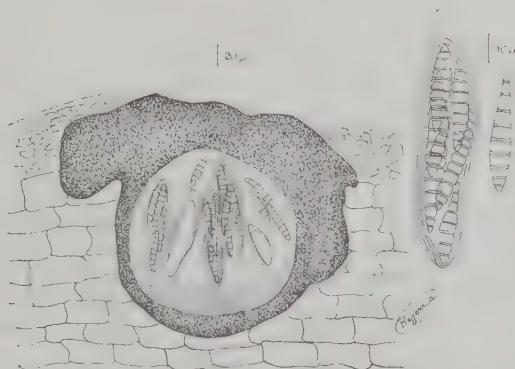


Fig. 12 — **Melomastia clypeata** Petr. var. **multiseptata** Bat. & Bez. n. var.

peados, com ostiolo indefinido,  $180-250 \mu$  de diâmetro; parede superior pseudo-parenquimática, protegida por um clipeo negro, opaco, de células indistintas,  $38-76 \mu$  de espessura; parede basal definida, negra,  $20-25 \mu$  de espessura; bordos inteiros.

Himénio normal, hialino, simples.



Ascos paralelos, cilindro-clavados, 2-tunicados, sem opérculo, sésseis, 5-8-esporos, parafisados,  $67-90 \times 15-19 \mu$ ; paráfises hialinas, filiformes, simples, continuas,  $1-1,5 \mu$  de diâmetro.

Ascosporos clavado-fusoides, hialinos, 7-11-septados, pouco constrictos, polísticos, lisos,  $40-55 \times 5,5-8 \mu$ .

Sobre caule de *Salix martiana*, associado a *Sporidesmium uvariicola* M. B. Ellis. Leg. Maria Adey Leite, Recife, 21/5/959. Tipo, 16119, I. M. U. R.

*Ascis minoribus et ascosporis 7-11-septatis atque maiori-bus, a typo recedit.*

### MYCOSPHAERELLACEAE

**Mycosphaerella brassicicola** (Duby) Munk.

Sin.: *Sphaeria brassicicola* Duby.

*Dothidea brassicae* Desm.

*Sphaeria brassicae* Berk. & Br.

in: Munk — Danish Pyrenomycetes, p. 320, 1957.

Pseudotécios anfigenos, imersos, globosos, marron-negros, papilados, membranosos, confluentes ou isolados,  $67,5-100 \mu$  de diâmetro; paredes sub-parenquimáticas,  $8-27 \mu$  de espessura, constituídas por células poligonais, de  $6-11,5 \times 3,5-9 \mu$ , (Fig. 13).

Ascos cilindráceos, 2-tunicados, 8-esporos, sésseis a curtamente pedicelados,  $38-50 \times 8-13 \mu$ , aparafisados.

Ascosporos cilindráceos a fusoides, 1-septados, recurvados, hialinos, polísticos,  $12-16 \times 3-4 \mu$ .

S folhas de *Erable plane*. Galia. Leg. P. Brunaud, 1885. C. Romeguère, Fungi Gallici exsiccati, n.º 3358, sob *Asteromella ovata* Thüm. no Rijksherbarium, Leiden.

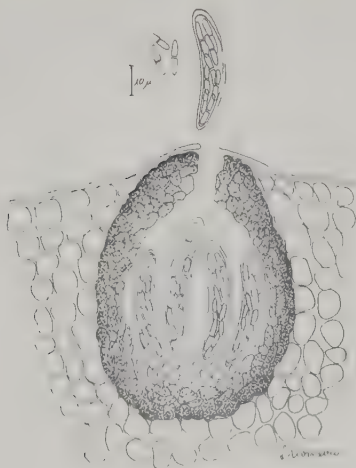


Fig. 13 — **Mycosphaerella brassicicola** (Duby) Munk

Pseudotécio, asco e ascosporo

Orig.

**Mycosphaerella digitalis-ambiguae** von Arx.

*in* Sydowia, Ann., Myc. Ser. II, vol. III: 92, 1949.

Micélio livre ausente e micélio intramatricial inobservado.

Pseudotécios irregularmente distribuídos, imerso-irrupentes, marrom-negros, solitários ou confluentes, sub-membranosos, sub-globosos, 76-94,5  $\mu$ , com ostíolo de 10-20  $\mu$  de diâmetro; paredes formadas por várias camadas de células irregulares, 4-8  $\times$  4-8  $\mu$ , de natureza pseudo-parenquimática.

Ascospores cilíndrico-clavados, 2-tunicados, 8-esporos, sésses ou curto pedicelados, 38-44  $\times$  7-9  $\mu$ ; paráfises tênues, mucosas (Fig. 14).

Ascospores sub-clavados, hialinos, 1-septados, sub-dísticos, 13-15  $\times$  2,5-4  $\mu$ . Formam-se, também, nas mesmas frutificações, picnidiosporos bacilares, contínuos, hialinos, 2,5-5  $\times$  1-2,5  $\mu$ , de *Phyllosticta*.

Sobre folhas de *Andromeda polyfolia*, associado a *Eudimerium gymnosporiae* Hansf. e *Stomioteltis rubi* (Fck.)

Petrak. Porla, Suécia. Dr. G. v. Lagerheim, 7/1899. Espec. 542 b, Rehm Ascomyceten, sob *Stigmatea andromedae* Rehm., no Herb. Inst. Bot. Acad. Cienc. Leningrado, U. S. S. R.

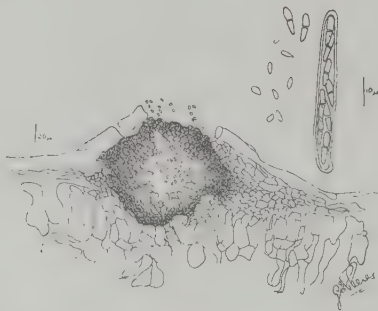


Fig. 14 — *Mycosphaerella digitalis-ambiguae* Von Arx

***Mycosphaerella longissima* (Fuck.) von Arx.**

in Beitr. zur Kennt. Gattung *Mycosphaerella*, p. 67, 1949

Sin.: *Asterina plantaginis* Ellis.

Pseudotécios imerso-irrupentes, dispersos, formando máculas diminutas, isolados, por vezes gregários 2-3, membranosos, sub-globosos a lentiformes, pseudo-ostiolados, 70-90  $\mu$  de diâmetro; paredes formadas por células justapostas, de contorno poligonal, 5,5-11  $\times$  7-8  $\mu$ , pseudoparenquimáticas, de 6,5-9  $\mu$  de espessura. Himénio normal, hialino (Fig. 15).

Micélio intramatricial, escasso, glabro, de hifas flexuosas, septadas, levemente constrictas, marron, 2-3  $\mu$  de diâmetro.

Ascos oblongos a sub-globosos, 2-tunicados, sésseis, octosporos, 19-33  $\times$  10-13  $\mu$ , aparafisados.

Ascosporos elipsoides, hialinos, 9-12  $\times$  2,5-4,5  $\mu$ , 1-septados, constrictos, disticos a trísticos, lisos.

Sobre folha de *Plantago major* — Filadelfia, U. S. A. Dr. Geo A. Rex, 1881. Espec. n.º 791 ex Ellis North Ame-



rican Fungi, sob o nome de *Asterina plantaginis* Ell., no Herb. de P. A. Saccardo, Univ. de Pádova, Itália.



Fig. 15 — *Mycosphaerella longissima* (Fck.) von Arx

***Mycosphaerella psammae* (Rostr.) Lind. var. *stromatica* Munk.**  
*in* Munk — Danish Pyrenomycetes: 319, 1957.

Máculas anfigenas, marron-negras na face ventral e marron-pálidas na face dorsal da folha, irregulares, isoladas, de 2-4 mm de diâmetro ou efusas.

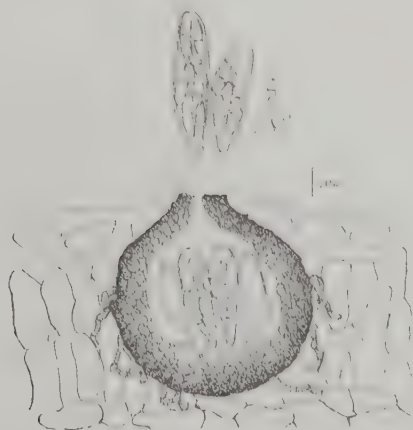


Fig. 16 — *Mycosphaerella psammae* (Rostr.) Lind. var. *stromatica* Munk

Pseudotécio, asco e ascosporos

Micélio interno oliváceo a marron-claro, septado, constricto, inter e intra-celular, tendo células de  $4-8 \times 2,5-4,5 \mu$ .

Pseudotécios epífilos, marron-negros, em estroma imerso-irrupente, glabros, gregários, numerosos, de  $63,5-93 \mu$  de altura e  $61-100 \mu$  de diâmetro, membranosos, ostiolados, levemente papilados, sub-parenquimáticos, globosos; paredes de  $6-14,5 \mu$  de espessura, formadas por células poligonais de  $5,5-10 \times 2,5-6,5 \mu$  (Fig. 16).

Ascos elipsoides a piriformes, 8-esporos, 2-tunicados, sésseis, aparafisados,  $37,5-45,5 \times 11-13,5 \mu$ .

Ascosporos cilindráceos, hialinos, 1-septados, não constrictos, dísticos, de  $12-14,5 \times 3,3-4 \mu$ , gutulados.

Sífolhas de *Drymaria cordata* (L.) Willd., associado a *Asteromella drymariae* Syd. Tungurahua, Equador. H. Sydow, 31-12-937. Espec. n.º 1216, Sydow Fungi exotici, no Rijksherbarium, Leiden.

### **Ohleria Aemulans** Rehm.

in Ann. Mycol. X: 392, 1912.

Syll. Fung. XXIV: 1013, 1928.

Micélio superficial e intramatricial ausentes.

Peritécios superficiais (Fig. 17), sésseis, apoiados sobre mancha estromática, marron-negros, de textura subcarbonácea, sub-globosos, levemente papilados, depois perfurados,  $148-175 \mu$  de diâmetro, glabros, 1-loculares; paredes pseudo-parenquimáticas, de  $11-16 \mu$  de diâmetro, formadas por 3-5 camadas de células irregulares, de  $5-12 \times 4-8 \mu$ .

Ascos clavados ou elipsoides, 2-tunicados, de ápice obtuso, curto-pedicelados, 8 esporos,  $76-121,5 \times 19-22 \mu$ .

Paráfises hialinas, filiformes, septadas, de  $1-3 \mu$  de diâmetro.

Ascosporos oblongos, 3-septados, marron, dísticos, constrictos,  $24-30 \times 8-11 \mu$ , desintegrando-se em células oblongas.

Sobre caule de *Arabis platysperma*, associado a *Microthyrium microscopicum* Desm., *Microcyclella nervisequia*

(v. Höhn) Theiss. e *Hendersonia luzulina* Sacc., Monte Shasta, Calif U. S. A. Espec. de State College of Washington, U. S. A., Leg. W. B. & V. G. Cooke, 24-8-949.



Fig. 17 — *Ohleria aemulans* Rhem

**Phyllachora goyazensis** P. Henn.

in *Bothalia* IV, part. II: 453, 1942.

Sin.: *Catacauma goyazensis* (P. Henn.) Theiss. & Syd.  
in *Ann. Myc.* XIII: 396, 1915.

*Bothalia*, II: 231, 1927.

Estromas epífilos, 1-2 mm de diâmetro, marron-negros, circulares, convexos, brilhantes, isolados ou confluentes, formando estromas compostos de modo irregular.

Ascostromas solitários em cada estroma (Fig. 18), globoso-aplanados, 575-787  $\mu$  de diâmetro, 100-300  $\mu$  de altura, com ostiolo central de 15-20  $\mu$ ; clipeo somente na porção superior, negro, opaco, de 42-65  $\mu$  de diâmetro; lóculo ascostromático de 225-400  $\times$  146-157  $\mu$ ; parede basal pseudo-prosenquimática, marron-clara, de 10-12,5  $\mu$  de largura, apoiada nas células do tecido epitelial, com hifas de 2-2,5  $\mu$  de diâmetro.

Ascos cilíndricos, 2-tunicados, curto-pedicelados, 4-8-esporos, 62,5-75  $\times$  12,5-17,5  $\mu$ .

Paráfises hialinas, filiformes, espessas, septadas, simples, de 2,5-4  $\mu$  de diâmetro.

Ascosporos elipsoides a ovais, monósticos a escassamente disticos, contínuos, hialinos, elipsoides, lisos,  $11-15 \times 10-11 \mu$ , com episório espesso, de  $2-4 \mu$  de diâmetro.

Picnídios associados aos peritécios,  $185-200 \times 100-112 \mu$  de altura, cobertos por clipeo epidermal.

Picnidiosporos filiformes, contínuos, hialinos, de ápice agudo,  $15-17,5 \times 0,5-1 \mu$  de diâmetro.

Sobre folhas de *Psidium araca* Raddi-Ferraí, Paulista, Pern. — Leg. Osvaldo Soares da Silva, 5-4-959. Espec. 16117, I. M. U. R.

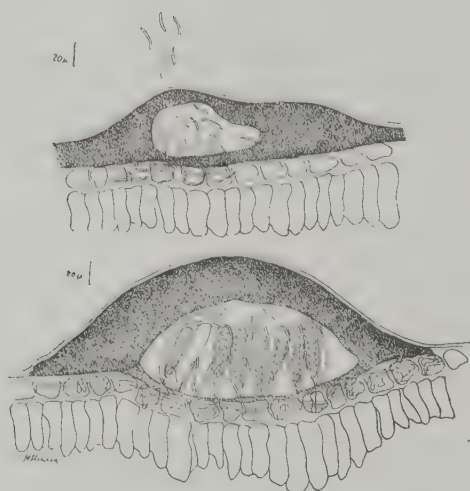


Fig. 18 — *Phyllachora goyazensis* P. Henn.

***Phyllachora Puncta* (Cke.) Doidge**

in *Bothalia* IV, part. II, pág. 445, 1942.

Micélio superficial ausente.

Clipeo recobrando os ascostromas, marron-negro, de  $28-33 \mu$  de largura.

Estromas ascigeros, predominantemente epífilos, subcuticulares, marron-negros, glabros, ástomos, isolados ou con-



fluentes, circulares, 450  $\mu$  até 1 mm de diâmetro; lóculos de 150-300  $\mu$  de diâmetro, 191-300  $\mu$  de altura; paredes prosenquimáticas, formadas por hifas marron-oliváceas, de 2,5-4  $\mu$  de diâmetro (Fig. 19).

Pseudo-ostíolo central, de 24-25  $\mu$  de diâmetro.

Ascos clavados a sub-globosos, 2-tunicados, sésseis a curto pedicelados, 8-esporos, parafisados, 55-75  $\times$  12,5-20  $\mu$ ; paráfises hialinas filiformes, de 1,5-4  $\mu$ .

Ascosporos hialinos, elipsoides a ovóides, continuos, lisos, monósticos a dísticos, 12-15  $\times$  9-10  $\mu$ .

Sobre folhas de *Xylosma* sp. Ferrai, Paulista. Pern. Leg. Osvlado Soares da Silva, 5-4-959. Espec. 16004, I. M. U. R.

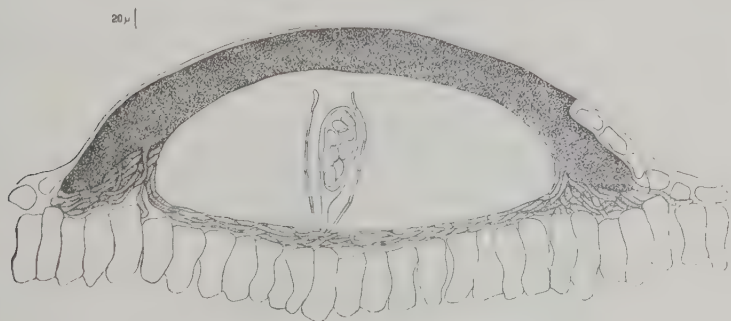


Fig. 19 — *Phyllachora puncta* (Cke.) Doidge.

## POLYSTIGMATACEAE

**Polystigma sutherlandiae** (Kalch. & Cke.) von Arx & Müller  
in Beiträge zur Kryptogamenflora der Schweiz

Band II, Heft 1, p. 237, 1954.

Sin.: *Stigmatia sutherlandiae* Kalch. & Cke.

in Grevillea, IX: 32, 1880.

Syll. Fung. I: 543, 1882.

*Stigmatula sutherlandiae* Syd.

Bull. Herb. Boissier, 2.<sup>a</sup> sér. 1: 78, 1911.

*Hyponectria sutherlandiae* Theiss.

in Verh. Zool. Bot. Ges. Wien, 69: 23, 1920.

*Physalosporina sutherlandiae* Petr.

in Ann. Myc. XXXII: 411, 1934.

Máculas epífilas, esclarecidas, rotundas, até 3 mm de diâmetro.

Peritécios imersos, depois sub-irrupentes, sub-globosos ou piriformes, de paredes sub-hialinas, marron apenas no pseudo-estroma da região ostiolar,  $154-310 \times 185-320 \mu$ ; paredes de  $16-35 \mu$  de diâmetro, formadas por células quase indistintas,  $5-11 \times 4-5 \mu$  (Fig. 20).

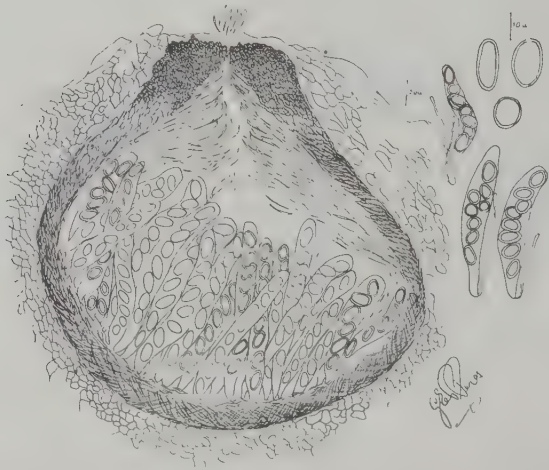


Fig. 20 — *Polystigma sutherlandiae* (Kalch. & Cke.) Von Arx & Müller

Ascos sub-cilindráceos, pedicelados, 1-tunicados, 8-esporos, abundantes, paralelos,  $80-127 \times 16-22 \mu$ .

Paráfises hialinas, filiformes,  $1-3 \mu$  de diâmetro.

Ascosporos elipsóides, sub-globosos, sub-cilindráceos, hialinos, contínuos, monósticos,  $10-22 \times 9-11 \mu$ .

Sobre folhas de *Sutherlandia frutescens*, Somerset-East., leg. Mac Owan. Espec. n.º 3344, ex Rabenhorst-Winter, Fungi

Europaei, no Herb. do Inst. Bot. da Academia de Ciências de Leningrado, U. S. S. R.

### PLEOSPORACEAE

**Pseudoplea trifolii** (E. Rostr.) Petr.  
*in* Ann. Mycol. XXV : 216, 1927.

Máculas cinéreas, orbiculares.

Micélio intramatricial, oliváceo ou marron-claro, escasso, de hifas septadas, constrictas, 3-5,5  $\mu$  de diâmetro.

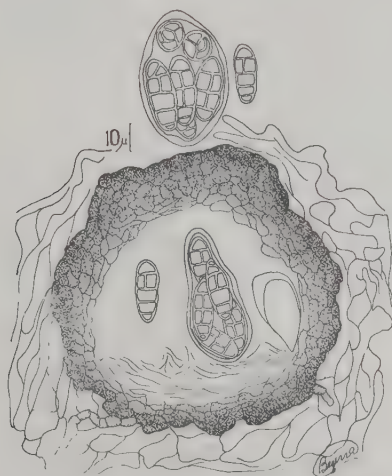


Fig. 21 — **Pseudoplea trifolii** (E. Rostr.) Petr.

Peritécios imersos ou imerso-irrupentes, glabros, membranosos, isolados, sub-globosos, marron, 95-140  $\mu$  de diâmetro, ástomos; paredes uniformes, pseudo-parenquimáticas, 13,5-16  $\mu$  de espessura, formadas de células poligonais, 5,5-6,5  $\times$  2,5-5  $\mu$ ; himénio normal, hialino, simples (Fig. 21).

Ascos oblongos ou oblavados, 2 tunicados, 6-8-esporos, inoperculados, paralelos, sésseis, aparafisados, 30-55  $\times$  20-32  $\mu$ .

Ascosporos oblongos a elipsoides, hialinos, muriformes, 3-5-septados, transversais e 1-2-septos, longitudinais, constrictos, lisos, pluri-gutulados,  $23-27 \times 9-11 \mu$ .

Sobre cariópses de *Sorghum halepense* (L.) Pers., associado a *Alternaria tenuis* Nees, *Sphaerophragmium sorghi* Bat. & Bez. n. sp., *Fusarium* sp., *Phaeoxyphium sorghi* Bat. & Bez. n. sp. e *Macrophoma graminella* B. & V. — Leg. A. Chaves Batista — Caruarú — Pern., 7-9 1959. Espec. 17134, I. M. U. R.

### TRICHOthyriACEAE

**Trichothyrina pinophylla** (v. Höhn) Petrak

in Sydowia, IV: 168, 1950.

Sin.: *Leptopeltella pinophylla* v. Höhn

in Annal. Mycol. XV: 305, 1917

**Gloniella pinophylla** v. Höhn, apud Strasser

in Verh. Zool. Bot. Ges. LXIX: 365, 1919

**Trichothyrium austriacum** Petrak,

in Annal. Mycol. XXXVIII: 365, 1940

**Trichothyrium pinophyllum** (v. Höhn) Petrak

in Ann. Mycol. XXXIX: 263, 1941.

Micélio superficial, escasso, muito ténue, ramificado, septado, com hifas de  $1,3-2,7 \mu$  de diâmetro, marron-claras. Ascostromas superficiais, anfigenos, isolados, raros, confluentes, orbiculares, dimidiados, escutelares,  $92-141,5 \mu$  de diâmetro,  $13,5-21,5 \mu$  de altura, marron, glabros; himénio simples; parede superior radiada, pseudo-parenquimática, membranácea, de  $5,5-8 \mu$  de espessura, formada por células isodiamétricas, de  $3,8-5,0 \times 2,5-3,8 \mu$ ; ostiolo central, irregularmente circular, de  $5,0-6,3 \mu$  de diâmetro; parede inferior quase indistinta (Fig. 22).

Ascos obclavados a sub-globosos, 2-tunicados, 6-esporos, sésseis,  $23,0-29,0 \times 7,5-9,0 \mu$  aparafisados. Ascosporos cilindráceos, 1-septados, não constrictos, polísticos, raros, gutulados, retos, hialinos,  $8,8-15,0 \times 2,5-3,1 \mu$ .



Sobre folhas de *Pinus austriaca* — Leg. F. Petrak, Abril, 1939. Niederdonau — Espécimen n.º 2089, F. Petrak, Mycotheca Generalis (A Chaves Baptista & C A. Costa) A. Mycologici, vol. XXXIX, pág. 263 (1941).

Obs.: Achava-se identificado sob *Trichothyrium pinophyllum* (v. H) Petr.

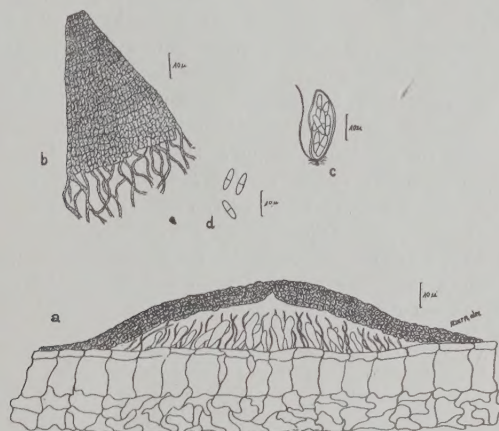


Fig. 22 — *Trichothyria pinophylla* (V. Höhn) Petrak

- a) Ascostroma sob corte longitudinal;
- b) Sector da parede superior do ascostroma e hifas do micélio;
- c) Asco e paráfises;
- d) Ascosporo.

## Summary

This paper deals with the following Ascomycetes: *Arachnopeziza platoniae* Bat. & Peres, on *Platonia insignis*; *Auerswaldia nectroides* Rehm, on *Mangifera indica*; *Eupelte amicta* Syd., on *Olea laurifolia*; *Fenestella faberi* Kunze, on *Cytisus scoparius*; *F. ulmicola* E. & E., on *Paullinia pinnata*; *Gnomonia grewiae* (P. Henn.) Petrak, on *Grewia caffra*; *Leuconiella* n. gen. (family Erysiphaceae) *paraguayensis* Bat., Maia & Peres n. sp., on Sapindaceae; *Massaria occulta* Rommell, on *Maytenus rigida*; *Massarina salicinicola* Rehm var. *minor* Bat. & Maia, on unknown host; *Melomastia clypeata* Petr. var. *multiseptata* Bat. & Bez. n. var., on *Salix martiana*; *Mycosphaerella brassicicola* (Duby), Munk, on unknown host; *M. digitalis ambiguae* von Arx, on *Andromeda polyfolia*; *M. longissima* (Fuck.) von Arx, on *Plantago major*; *M. psammae* (Rostr.) Lind. var. *stromatica* Munk, on *Drymaria cordata*; *Ohleria aemulans* Rehm, on *Arabis platysperma*; *Phyllachora goyazensis* P. Henn., on *Psidium araca*; *P. puncta* (Cke.) Doidge, on *Xylosma* sp.; *Polystigma sutherlandiae* (Kalch. & Cke.) von Arx & Muller, on *Sutherlandia frutescens*; *Pseudoplea trifolii* (E. Rostr.) Petrak, on *Sorghum halepense* and *Trichothyria pinophylla* (v. Höhn.) Petrak, on *Pinus austriaca*.





Separata da Revista **BROTÉRIA**  
Série de Ciências Naturais  
Volume XXIX (LVI) Números 3-4  
**LISBOA** ===== **1960**